

## TT 106 N, TD 106 N, DT 106 N

## Elektrische Eigenschaften

## Electrical properties

## Höchstzulässige Werte

## Maximum rated values

Periodische Vorwärts- und Rückwärts-Spitzenspannung	repetitive peak forward off-state and reverse voltages	$t_{vj} = -40^{\circ}\text{C} \dots t_{vj\ max}$	$V_{DRM}, V_{RRM}$	600, 800	V	
Vorwärts-Stoßspitzenspannung	non repetitive peak forward off-state voltage	$t_{vj} = -40^{\circ}\text{C} \dots t_{vj\ max}$	$V_{DSM} = V_{DRM}$	1000, 1200	V	
Rückwärts-Stoßspitzenspannung	non repetitive peak reverse voltage	$t_{vj} = +25^{\circ}\text{C} \dots t_{vj\ max}$	$V_{RSM} = V_{RRM}$	1400, 1600	V	
Durchlaßstrom-Grenzeffektivwert Dauergrenzstrom	RMS on-state current average on-state current	$t_C = 85^{\circ}\text{C}$ $t_C = 78^{\circ}\text{C}$	$I_{TRMSM}$	1800	V	
Stoßstrom-Grenzwert	surge current	$t_{vj} = 25^{\circ}\text{C}, t_p = 10\text{ ms}$ $t_{vj} = t_{vj\ max}, t_p = 10\text{ ms}$	$I_{TAVM}$	180	A	
Grenzlastintegral	$\int i^2 dt$ -value	$t_{vj} = 25^{\circ}\text{C}, t_p = 10\text{ ms}$ $t_{vj} = t_{vj\ max}, t_p = 10\text{ ms}$	$I_{TSM}$	106	A	
Kritische Stromsteilheit	critical rate of rise of on-state current	$t_D \leq 67\% V_{DRM}, f_0 = 50\text{ Hz}$ $V_L = 10\text{ V}, I_{GM} = 0.6\text{ A}, di_G/dt = 0.6\text{ A}/\mu\text{s}$	$\int i^2 dt$	115	A	
Kritische Spannungssteilheit	critical rate of rise of off-state voltage	$t_{vj} = t_{vj\ max}, V_D = 67\% V_{DRM}$	$(di/dt)_{cr}$	2250	A <sup>2</sup> s	
				20000	A <sup>2</sup> s	
				150	A/ $\mu\text{s}$	
				$(dv/dt)_{cr}$	1000	V/ $\mu\text{s}$

## Charakteristische Werte

## Characteristic values

Durchlaßspannung	on-state voltage	$t_{vj} = t_{vj\ max}, i_T = 300\text{ A}$	$V_T$	max.	1,78	V
Schleusenspannung	threshold voltage	$t_{vj} = t_{vj\ max}$	$V_{T(TO)}$		0,9	V
Ersatzwiderstand	slope resistance	$t_{vj} = t_{vj\ max}$	$r_T$		2,6	$\text{m}\Omega$
Zündstrom	gate trigger current	$t_{vj} = 25^{\circ}\text{C}, V_D = 6\text{ V}$	$I_{GT}$	max.	150	$\text{mA}$
Zündspannung	gate trigger voltage	$t_{vj} = 25^{\circ}\text{C}, V_D = 6\text{ V}$	$V_{GT}$	max.	1,4	V
Nicht zündender Steuerstrom	gate non trigger current	$t_{vj} = t_{vj\ max}, V_D = 6\text{ V}$	$I_{GD}$	max.	5	$\text{mA}$
Nicht zündende Steuerspannung	gate non trigger voltage	$t_{vj} = t_{vj\ max}, V_D = 0,5 V_{DRM}$	$V_{GD}$	max.	0,2	V
Haltestrom	holding current	$t_{vj} = 25^{\circ}\text{C}, V_D = 6\text{ V}, R_A = 5\Omega$	$I_H$	max.	200	$\text{mA}$
Einraststrom	latching current	$t_{vj} = 25^{\circ}\text{C}, V_D = 6\text{ V}, R_{GK} \geq 10\Omega$ $i_{GM} = 0.6\text{ A}, di_G/dt = 0.6\text{ A}/\mu\text{s}, t_0 = 20\text{ }\mu\text{s}$ $t_{vj} = t_{vj\ max}, V_D = V_{DRM}, V_R = V_{RRM}$	$I_L$	max.	620	$\text{mA}$
Vorwärts- und Rückwärts-Sperrstrom	forward off-state and reverse currents	$t_{vj} = 25^{\circ}\text{C}, i_{GM} = 0.6\text{ A}, di_G/dt = 0.6\text{ A}/\mu\text{s}$ siehe Techn. Erl./see Techn. Inf.	$i_D, i_R$	max.	30	$\text{mA}$
Zündverzug	gate controlled delay time	$RMS, f = 50\text{ Hz}, t = 1\text{ min}$	$t_{gd}$	max.	3	$\mu\text{s}$
Freiwerdezeit	circuit commutated turn-off time		$t_q$	typ.	150	$\mu\text{s}$
Isolations-Prüfspannung	insulation test voltage		$V_{ISOL}$		3	kV

## Thermische Eigenschaften

## Thermal properties

Innerer Wärmewiderstand	thermal resistance, junction to case	$\Theta = 180^{\circ}\text{el}$ , sinus: pro Modul/per module DC: pro Modul/per module	$R_{thJC}$	max.	0,165	$^{\circ}\text{C/W}$
Übergangs-Wärmewiderstand	thermal resistance, case to heatsink	pro Modul/per module pro Zweig/per arm	$R_{thCK}$	max.	0,33	$^{\circ}\text{C/W}$
Höchstzul. Sperrsichttemperatur	max. junction temperature		$t_{vj\ max}$		0,155	$^{\circ}\text{C/W}$
Betriebstemperatur	operating temperature		$t_{co\ op}$		0,31	$^{\circ}\text{C/W}$
Lagertemperatur	storage temperature		$t_{sig}$			

## Mechanische Eigenschaften

## Mechanical properties

Si-Elemente mit Druckkontakt	Si-pellets with pressure contact					AIN
Innere Isolation	internal insulation					
Anzugsdrehmomente	tightening torques					
mechanische Befestigung	mounting torque					
elektrische Anschlüsse	terminal connection torque					
Gewicht	weight	Toleranz/tolerance $\pm 15\%$	M1		4 Nm	
Kriechstrecke	creepage distance	Toleranz/tolerance $+ 5\%/- 10\%$	M2		4 Nm	
Schwingfestigkeit	vibration resistance		G	typ.	250 g	
Maßbild	outline	$f = 50\text{ Hz}$			15 mm	
					5 · 9,81 m/s <sup>2</sup>	
					5	

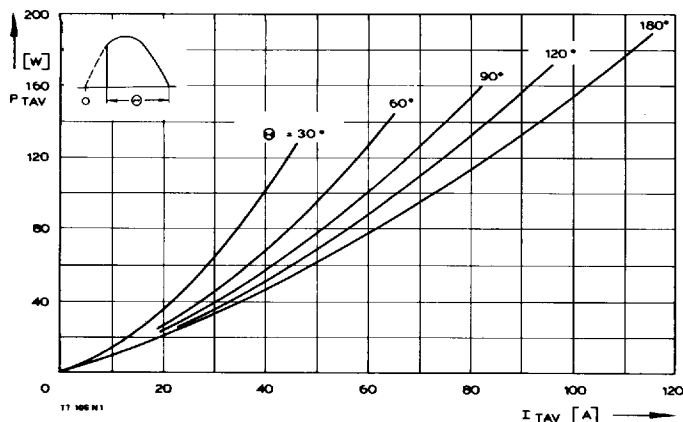
Diese Module können auch mit gemeinsamer Anode oder gemeinsamer Kathode geliefert werden.

These modules can also be supplied with common anode or common cathode.

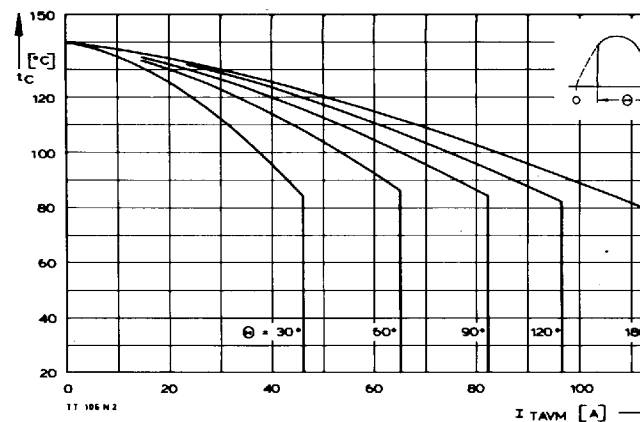
Recognized by UNDERWRITERS LABORATORIES INC.



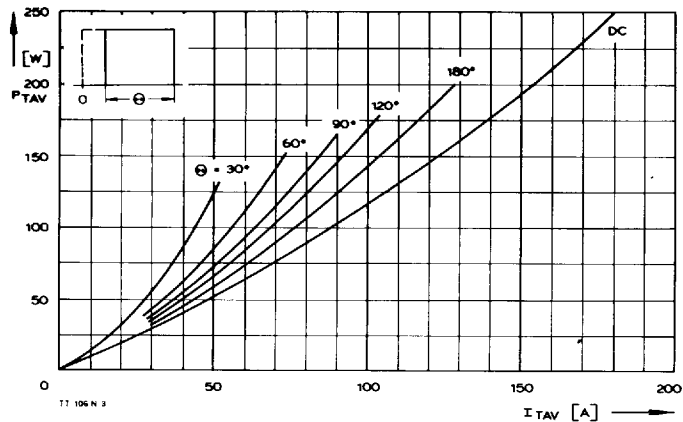
## TT 106 N, TD 106 N, DT 106 N



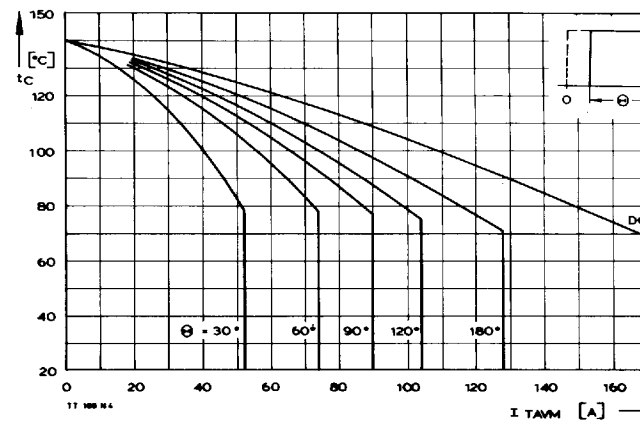
Bild/Fig. 1  
Durchlaßverlustleistung eines Zweiges/On-state power loss per arm  $P_{TAV}$   
Parameter: Stromflußwinkel/current conduction angle  $\Theta$



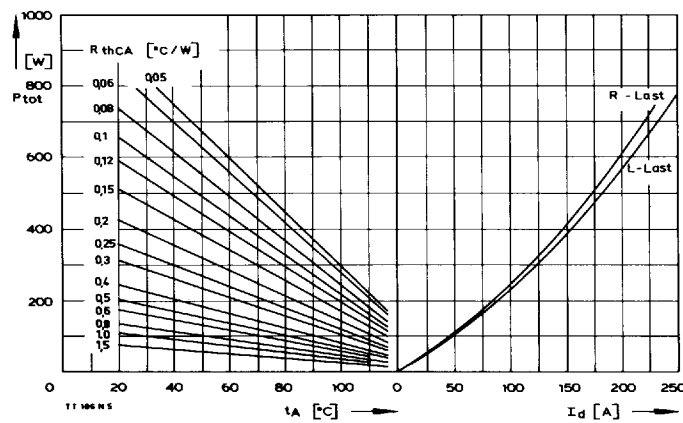
Bild/Fig. 2  
Höchstzulässige Gehäusetemperatur  $t_C$  in Abhängigkeit vom Zweigstrom  
Maximum allowable case temperature  $t_C$  versus current per arm



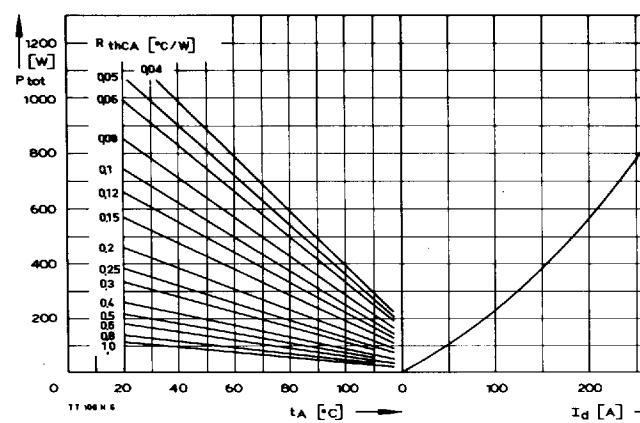
Bild/Fig. 3  
Durchlaßverlustleistung eines Zweiges/On-state power loss per arm  $P_{TAV}$   
Parameter: Stromflußwinkel/current conduction angle  $\Theta$



Bild/Fig. 4  
Höchstzulässige Gehäusetemperatur  $t_C$  in Abhängigkeit vom Zweigstrom  
Maximum allowable case temperature  $t_C$  versus current per arm

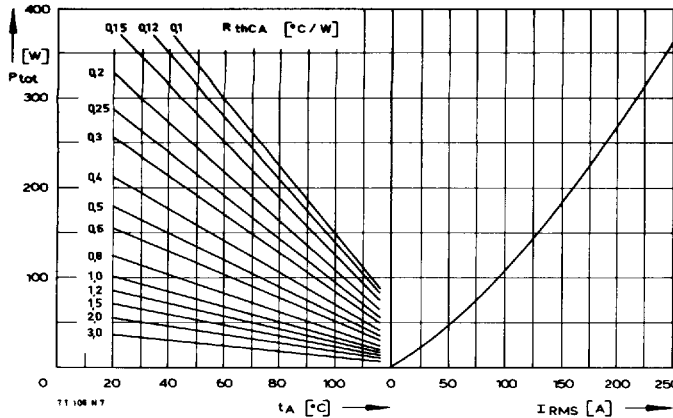


Bild/Fig. 5  
B2 – Zweipuls-Brückenschaltung/Two-pulse bridge circuit  
Höchstzulässiger Ausgangstrom  $I_d$  in Abhängigkeit von der Umgebungs-  
temperatur  $t_A$ .  
Maximum allowable output current  $I_d$  versus ambient temperature  $t_A$ .  
Parameter: Wärmewiderstand zwischen Powerblock und Umgebung/  
thermal resistance case to ambient  $R_{thCA}$



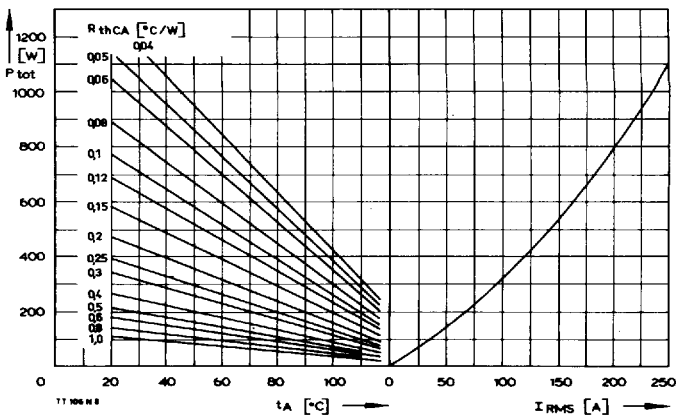
Bild/Fig. 6  
B6 – Sechspuls-Brückenschaltung/Six-pulse bridge circuit  
Höchstzulässiger Ausgangstrom  $I_d$  in Abhängigkeit von der Umgebungs-  
temperatur  $t_A$ .  
Maximum allowable output current  $I_d$  versus ambient temperature  $t_A$ .  
Parameter: Wärmewiderstand zwischen Powerblock und Umgebung/  
thermal resistance case to ambient  $R_{thCA}$

## TT 106 N, TD 106 N, DT 106 N



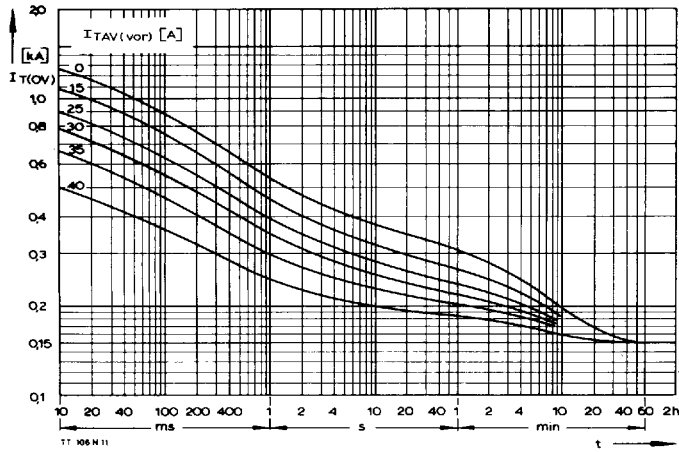
Bild/Fig. 7

WIC – Einphasen-Wechselwertschaltung/Single-phase inverse parallel circuit  
Höchstzulässiger Strom  $I_{RMS}$  in Abhängigkeit von der Umgebungstemperatur  $t_A$ .  
Maximum allowable current  $I_{RMS}$  versus ambient temperature  $t_A$ .  
Parameter: Wärmewiderstand zwischen Powerblock und Umgebung/  
thermal resistance case to ambient  $R_{thCA}$



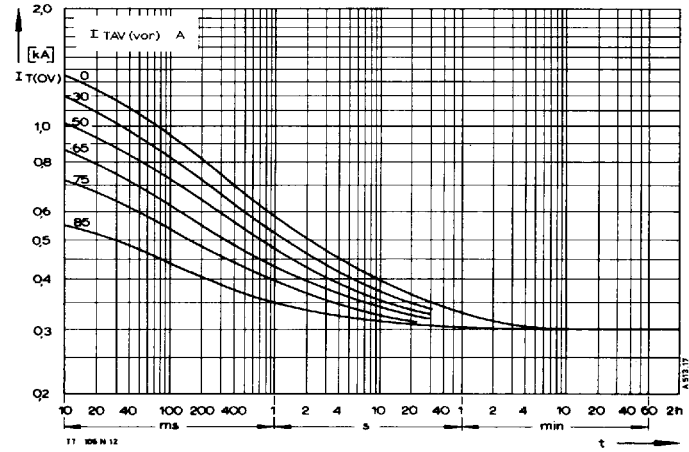
Bild/Fig. 8

W3C – Dreiphasen-Wechselwertschaltung/Three-phase inverse parallel circuit  
Höchstzulässiger Strom je Phase  $I_{RMS}$  in Abhängigkeit von der Umgebungs-  
temperatur  $t_A$ .  
Maximum allowable current per phase  $I_{RMS}$  versus ambient temperature  $t_A$ .  
Parameter: Wärmewiderstand zwischen Powerblock und Umgebung/  
thermal resistance case to ambient  $R_{thCA}$



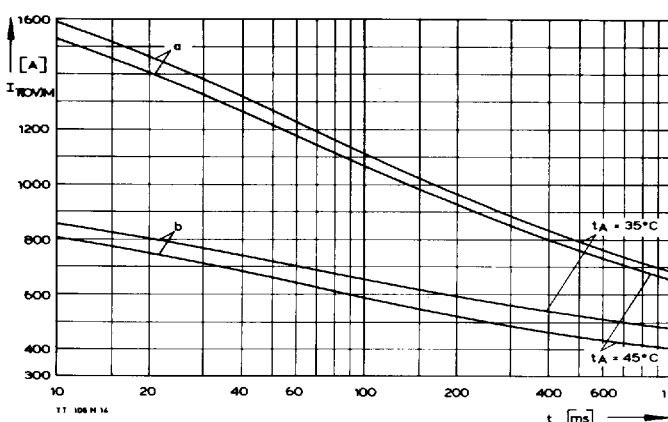
Bild/Fig. 9

B2 – Zweipuls-Brückenschaltung/Two-pulse bridge circuit  
Überstrom je Zweig  $I_{T(OV)}$  bei Luftseltkühlung,  $t_A = 45^\circ C$ , Kühlkörper KP 0,33 S.  
Overload on-state current per arm  $I_{T(OV)}$  at natural cooling,  $t_A = 45^\circ C$ ,  
heat sink type KP 0,33 S.  
Parameter: Vorlaststrom je Zweig/pre-load current per arm  $I_{TAV(vor)}$



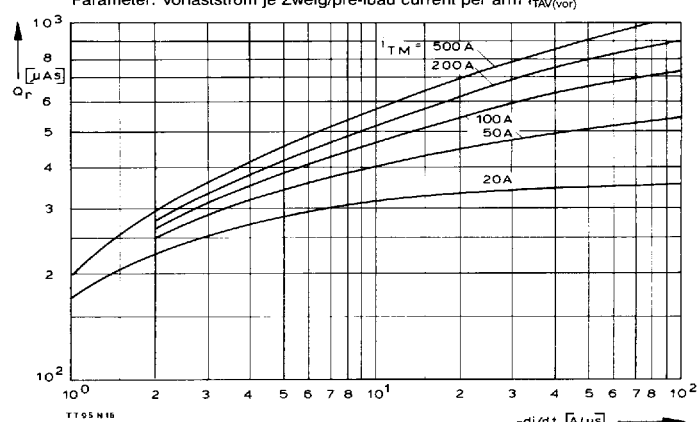
Bild/Fig. 10

B2 – Zweipuls-Brückenschaltung/Two-pulse bridge circuit  
Überstrom je Zweig  $I_{T(OV)}$  bei verstärkter Luftkühlung,  $t_A = 35^\circ C$ ,  $V_L = 90$  l/s,  
Kühlkörper KP 0,33 S.  
Overload on-state current per arm  $I_{T(OV)}$  at forced cooling,  $t_A = 35^\circ C$ ,  $V_L = 90$  l/s,  
heat sink type KP 0,33 S.  
Parameter: Vorlaststrom je Zweig/pre-load current per arm  $I_{TAV(vor)}$



Bild/Fig. 11

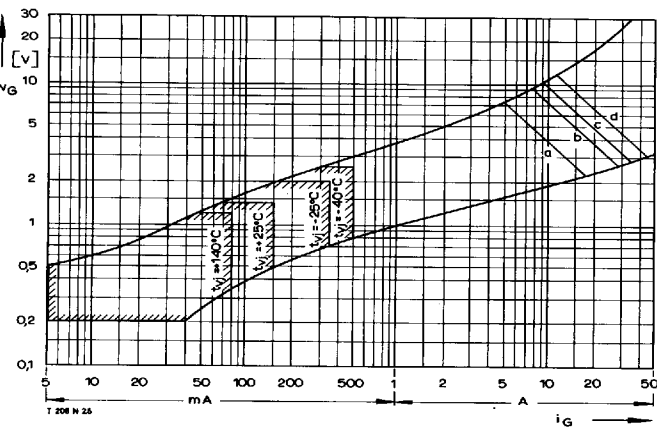
Grenzstrom je Zweig  $I_{T(OV)M}$  bei Luftseltkühlung,  $t_A = 45^\circ C$  und verstärkter  
Luftkühlung,  $t_A = 35^\circ C$ , Kühlkörper KP 0,33 S,  $V_{RM} = 0.8 V_{RRM}$ .  
Limiting overload on-state current per arm  $I_{T(OV)M}$  at natural ( $t_A = 45^\circ C$ ) and  
forced ( $t_A = 35^\circ C$ ) cooling, heat sink type KP 0,33 S,  $V_{RM} = 0.8 V_{RRM}$ .  
a – Belastung nach Leerlauf/initial surge under no-load conditions  
b – Belastung nach Betrieb mit Dauergrenzstrom  $I_{TAVM}$   
Current surge occurs during operation at limiting mean on-state current  
rating  $I_{TAVM}$



Bild/Fig. 12

Sperrverzögerungsladung  $Q_r$  in Abhängigkeit von der abkommunizierenden  
Stromsteilheit  $-di/dt$  bei  $t_{ij} = t_{ij \max}$ ,  $V_R = 0.5 V_{RRM}$ ,  $V_{RM} = 0.8 V_{RRM}$ .  
Der angegebene Verlauf ist gültig für 90% aller Elemente.  
Recovered charge versus the rate of decay of the forward on-state current  
 $-di/dt$  at  $t_{ij} = t_{ij \max}$ ,  $V_R = 0.5 V_{RRM}$ ,  $V_{RM} = 0.8 V_{RRM}$ .  
These curves are valid for 90% of all devices.  
Parameter: Durchlaßstrom  $i_{TM}$ /On-state current  $i_{TM}$

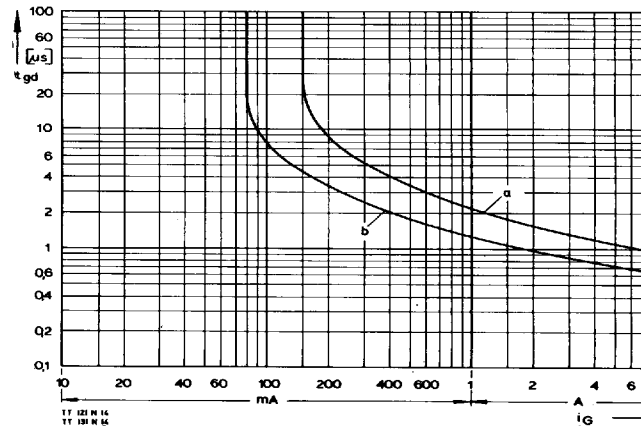
## TT 106 N, TD 106 N, DT 106 N



Bild/Fig. 13

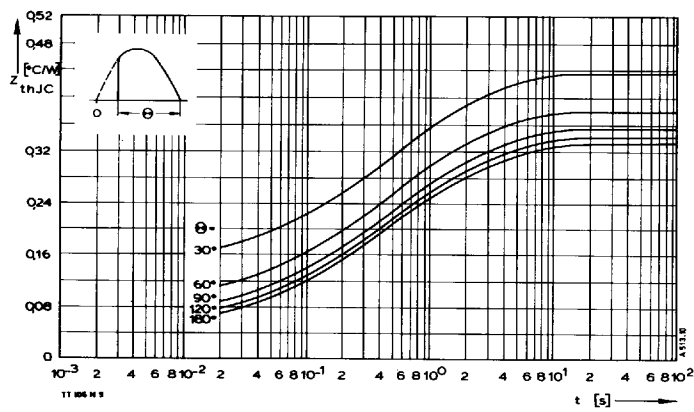
Zündbereich und Spitzesteuerleistung bei  $v_D = 6\text{ V}$ .  
Gate characteristic and peak gate power dissipation at  $v_D = 6\text{ V}$ .

Parameter:	a	b	c	d
Steuerimpulsdauer/Pulse duration $t_g$ [ms]	10	1	0,5	0,1
Höchstzulässige Spitzesteuerleistung/ Maximum allowable peak gate power [W]	40	80	100	150



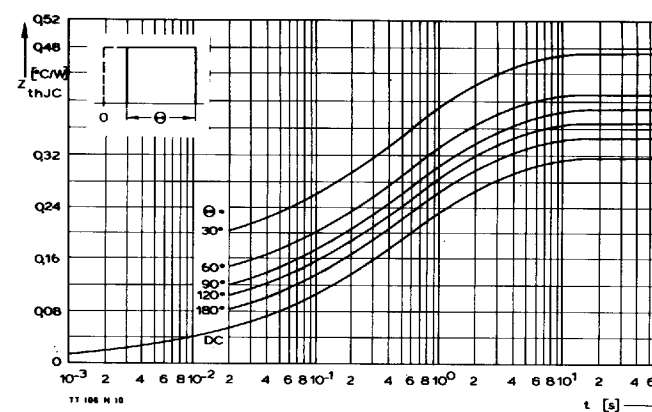
Bild/Fig. 14

Zündverzug/Gate controlled delay time  $t_{gd}$ .  
DIN 41787,  $t_a = 1\text{ }\mu\text{s}$ ,  $t_g = 25^\circ\text{C}$ .  
a - äußerster Verlauf/limiting characteristic  
b - typischer Verlauf/typical characteristic



Bild/Fig. 15

Transienter innerer Wärmewiderstand je Zweig  $Z_{ithJC}$ .  
Transient thermal impedance per arm  $Z_{ithJC}$ , junction to case.



Bild/Fig. 16

Transienter innerer Wärmewiderstand je Zweig  $Z_{ithJC}$ .  
Transient thermal impedance, junction to case, per arm  $Z_{ithJC}$ .

Pos. n	1	2	3	4	5
$R_{ithn}$ [ $^\circ\text{C/W}$ ]	0,0127	0,03	0,049	0,15	0,07
$\tau_n$ [s]	0,001	0,0092	0,074	0,57	3,51

$$Z_{ithJC} = \sum_{n=1}^{n_{\max}} R_{ithn} (1 - e^{-t/\tau_n})$$

Transienter Wärmewiderstand  $Z_{ithJC}$  pro Zweig für DC.  
Transient thermal impedance  $Z_{ithJC}$  per arm for DC.